

ЛАЗУТКИН Александр, УШАКОВ Леонид  
НОРДИН Виктор, КЛИМОВ Юрий  
АЛЬСЕНОВ Женис, ФАБРИЧНЫЙ Юрий

Политехнический институт, Караганда - СССР

МОДЕЛИРОВАНИЕ ПРОЦЕССОВ РАЗРУШЕНИЯ ПОРОД УДАРНЫМИ  
И АЛМАЗНЫМИ ИСПОЛНИТЕЛЬНЫМИ ОРГАНАМИ

**Резюме.** Одним из способов, заменяющих буровзрывное разрушение крепких и средней крепости пород, характеризующееся рядом известных недостатков, является разрушение ударными и алмазными исполнительными органами с высокой энерговооруженностью. В Карагандинском политехническом институте в течение ряда лет ведутся работы по созданию таких исполнительных органов для горных машин различного назначения. Разработан и изготовлен ряд экспериментальных образцов исполнительных органов, испытанных в различных лабораторных и промышленных условиях.

Параметры разрушения и режимы работы исполнительных органов исследовались с целью оптимизации процесса разрушения методами математического и физического моделирования, осциллографирования и тензометрирования протекающих явлений. Определены нелинейные многофакторные математические модели процессов разрушения, анализом которых найдены рациональные значения геометрических, кинематических, динамических параметров и их взаимные соотношения. Исследования проводились с помощью ЭВМ. Результаты исследований в виде рекомендаций переданы ряду промышленных предприятий.

Неуклонно возрастающий объем проведения подготовительных выработок в угольных и рудных месторождениях, ухудшение горно-геологических условий их отработки, снижение содержания полезного компонента предопределяют значительное увеличение трудовых затрат на отбойку и переработку горной массы.

Применяющийся в настоящее время в основном буро-взрывной способ отбойки крепких и средней крепости пород характеризуется рядом недостатков: цикличность, многократность, нарушением сплошности непосредственной кровли, необходимости проветривания после взрыва, невозможность автоматизации процесса и др.

Научно-исследовательские и проектно-конструкторские работы, проводимые в последние годы показывают, что перспективными являются изыскания, направленные на создание ударно-скальвающих и алмазных породоразрушающих исполнительных органов, обеспечивающих за счет больших величин развиваемых усилий на инструменте повышение эффек-

тивности отбойки крепких горных пород и, как следствие, увеличение производительности труда.

Изыскание математических моделей процесса разрушения горных пород необходимо для определения рациональных режимных и конструктивных параметров исполнительных органов. Сложность и нестационарность процесса, изменчивость свойств горного массива не позволяют на основании классической механики сплошной среды получить математические модели, описывающие с достаточной адекватностью реальный процесс разрушения. Из этих соображений для решения поставленной задачи использованы методы теорий подобия, размерностей, моделирования и многофакторного эксперимента.

Исследования разрушения горных пород полноразмерными исполнительными органами с высокой энерговооруженностью с целью определения комплексных математических моделей процесса затруднительно провести из-за значительной трудоемкости и сложности изменения силовых и кинематических характеристик в необходимом диапазоне. Поэтому осуществлен переход от натурного процесса разрушения к его модели в уменьшенном масштабе при соблюдении условий подобия.

Реальная ударная система в наших исследованиях моделировалась следующим образом (рис. I). Ударник массой  $m_1$ , сбрасываемый с разных высот на копровом стенде, ударяет по инструменту массой  $m_2$  (или двум инструментам массами  $m'_2$  и  $m''_2$ ). Инструмент своим долотчатым лезвием внедряется в блок породы и производит отделение некоторого объема  $V_p$ .

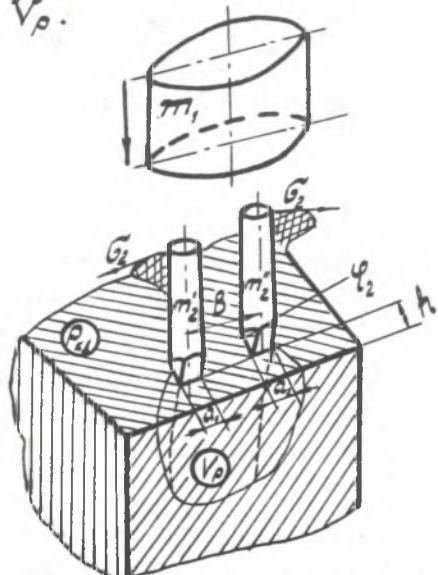


Рис. I. К определению параметров, влияющих на процесс ударного разрушения

В соответствии с  $\tilde{\mathcal{L}}$ -теоремой теории подобия и моделирования после отбрасывания неизменяемых безразмерных факторов получим безразмерные критериальные уравнения процесса ударного разрушения в следующей форме:

при разрушении одним инструментом

$$V_p/h^2 a_1 = f(\sigma_i/\rho_{cg}, a_1/h, m_1/m_2, \varphi_2), \quad (1)$$

при разрушении двумя инструментами

$$V_p/h^2 b = f(\sigma_i/\rho_{cg}, b/h, a_1/a_2, m_1/m_2, \varphi_2), \quad (2)$$

где  $\sigma_i$  - напряжение, генерируемое в инструментах;  $\rho_{cg}$  - контактная динамическая прочность разрушающейся породы;  $a_1$  и  $a_2$  - значения ширины лезвий инструментов;  $b$  - расстояние между осями инструментов;  $h$  - толщина стружки;  $m_1$  и  $m_2$  - массы ударника и инструментов (при разрушении двумя инструментами  $m_2$  определяется суммированием  $m_2$  и  $m_2''$ );  $\varphi_2$  - угол заострения инструментов.

Для проведения модельного эксперимента были определены уровни изменения критериев подобия, входящих в (1) и (2), причем численные значения уровней должны быть одинаковыми для модели и натуры. Обозначим в этих выражениях выходной безразмерный показатель через  $y$ , а входные безразмерные влияющие факторы через  $x_i$ , тогда выражения (1) и (2) примут общий вид

$$y = f(x_1, x_2, x_3, x_4), \quad (3)$$

$$y = f(x_1, x_2, x_3, x_4, x_5). \quad (4)$$

Определение зависимостей вида (3) и (4) являлось задачей модельных экспериментальных исследований, проведенных в соответствии с теорией многофакторного эксперимента /2/, на первом этапе которых проверялась возможность интерпретации процесса разрушения линейными регрессионными моделями. Однако, статистическая проверка показала, что линейные модели неадекватно описывают реальный процесс разрушения. Дальнейшие исследования проводились в соответствии с матрицами планирования эксперимента 2-го порядка, характеристики и порядок построения которых для любого числа влияющих факторов определяются методами матричной алгебры /2/. Каждый фактор изменился на 5 уровнях.

Регрессионные модели 2-го порядка имеют вид

$$\hat{y} = b_0 + \sum_{i=1}^k b_i x_i + \sum_{i=1}^k b_{ii} x_i^2 + \sum_{i < j} b_{ij} x_i x_j, \quad (5)$$

где  $k$  - число влияющих факторов.

Численные значения коэффициентов регрессии полиномиального уравнения (5) определяются из выражения

$$\boldsymbol{\beta} = (\boldsymbol{X}' \boldsymbol{X})^{-1} (\boldsymbol{X}' \boldsymbol{y}), \quad (6)$$

где  $\boldsymbol{\beta}$  - матрица-столбец коэффициентов регрессии;  $\boldsymbol{X}$  - матрица планирования эксперимента;  $\boldsymbol{X}'$  - транспонированная матрица планирования;  $\boldsymbol{y}$  - матрица-столбец результатов эксперимента.

После проведения многофакторного эксперимента его результаты проверялись на возможные выбросы в ряду наблюдений, нормальность распределения, воспроизводимость эксперимента, статистическую значимость коэффициентов регрессии: адекватность полученных моделей реальному процессу /2/. Результаты эксперимента обрабатывались с помощью ЭВМ по программе на языке ФОРТРАН. После обработки получены нелинейные математические модели процесса ударного разрушения горных пород, выраженные в виде полиномиальных зависимостей относительных объемов разрушенной за единичный удар породы и удельных энергозатрат разрушения от влияющих факторов. Эти модели после перехода от кодированных значений переменных к натуральным, например, для схемы разрушения с двумя вырожденными поверхностями выглядят следующим образом:

при разрушении одним инструментом

$$V_p = h^2 a_1 [0,2(a_1/h)^2 + 0,3(a_1/h)(\pi_1/\pi_2) + 2G_1/\rho_{eq} - 1,5a_1/h - 0,2\pi_1/\pi_2 + 0,5], \quad (7)$$

$$H_w \cdot 10^{-6} = 3,1(a_1/h)^2 + 0,1(\pi_1/\pi_2)^2 - 5,2(G_1/\rho_{eq})\varphi_1 + \\ + 1,55(G_1/\rho_{eq})(\pi_1/\pi_2) - 0,4(a_1/h)(\pi_1/\pi_2) - 0,9G_1/\rho_{eq} - \\ - 9,8a_1/h + 2,4\varphi_1 - 1,3\pi_1/\pi_2 + 12,6, \text{ дж/м}^3, \quad (8)$$

при разрушении двумя инструментами

$$V_p = h^2 b [1,78 (\sigma_2 / \rho_{cg})^2 + 0,02 (\pi_1 / \pi_2)^2 - 0,96 \sigma_2 / \rho_{cg} + \\ + 0,06 b/h + 0,30 \alpha_1 / \alpha_2 \cdot 0,07 \pi_1 / \pi_2 - 0,40 \varphi_2 - 0,13], \quad (9)$$

$$H_w \cdot 10^{-6} = 24,88 (\sigma_2 / \rho_{cg})^2 + 2,11 (\alpha_1 / \alpha_2)^2 + 2,07 \varphi_2^2 - 13,72 (\sigma_2 / \rho_{cg}) \cdot \\ \cdot (b/h) (\alpha_1 / \alpha_2) + 20,93 (\sigma_2 / \rho_{cg}) (b/h) \varphi_2 + 67,5 (\sigma_2 / \rho_{cg}) (\alpha_1 / \alpha_2) \varphi_2 + \\ + 4,25 (b/h) (\alpha_1 / \alpha_2) \varphi_2 - 3,04 (\sigma_2 / \rho_{cg}) (b/h) - 11,42 (\sigma_2 / \rho_{cg}) (\alpha_1 / \alpha_2) + \\ + 2,72 (\sigma_2 / \rho_{cg}) (\pi_1 / \pi_2) - 155,7 (\sigma_2 / \rho_{cg}) \varphi_2 + 1,48 (b/h) (\alpha_1 / \alpha_2) - \\ - 13,3 (b/h) \varphi_2 - 41,46 (\alpha_1 / \alpha_2) \varphi_2 + 59,64 (\sigma_2 / \rho_{cg}) + 5,28 (b/h) + \\ + 12,87 (\alpha_1 / \alpha_2) - 0,57 (\pi_1 / \pi_2) + 75,65 \varphi_2 - 38,9, \text{ дж/м}^3. \quad (10)$$

Сравнение математических моделей (7), (8) с моделями (9), (10) показывает, что процесс разрушения массива двумя инструментами является более сложным. Детальный анализ математических моделей с помощью ЭВМ позволил расположить безразмерные факторы по степени влияния на процесс разрушения, определить рациональные значения влияющих факторов и их соотношений, которые повышают эффективность процесса разрушения.

Процесс взаимодействия комбинированного исполнительного органа, включающего различные по типу и последовательности воздействия на массив рабочие инструменты, с неоднородным забоем, характеризующимся случайным распределением его физико-механических характеристик, может быть изучен с использованием методов исследования сложных систем. В нашем случае комбинированный исполнительный орган состоит из режущего диска, оснащенного алмазными сегментами и гидравлического отрывника с тарельчатым рабочим элементом для отделения надщелевого породного целика. Процесс разрушения является циклическим и заключается в прорезании диском щели в массиве параллельно поверхности забоя на определенную глубину с последующим отделением образованного породного целика рабочим элементом отрывника. Затем цикл "резание - отрыв" повторяется многократно до пол-

ного разрушения забоя. Перемещение режущего диска вдоль забоя осуществляется гидравлическим механизмом подачи.

Система "забой - исполнительный орган" в этом случае может быть представлена структурной схемой в виде четырех агрегатов, взаимодействующих между собой и с внешней средой, что характеризуется наличием между ними соответствующих связей (рис.2). На агрегат  $A_1$  подаются внешние входные сигналы в виде вектора  $X : x_1 = Q_p ; x_2 = S_p ; x_3 = \rho_p$ , представляющего собой характеристики гидравлического насоса и гидроцилиндра подачи. В агрегате  $A_1$  в результате взаимодействия операторов перехода  $H$  и выхода  $G$  /3/ происходит преобразование входных величин и формирование на выходе вектора  $Y : y_1 = F_p$  - усилие подачи;  $y_2 = V_p$  - скорость подачи, который является входным для агрегата  $A_2$ . Кроме того, входной вектор агрегата  $A_2$  дополняется внешними входными величинами:  $x_4 = \rho_c ; x_5 = N ; x_6 = b_p ; x_7 = b_p' ; x_8 = R ; x_9 = \delta_{\text{пр}} ; x_{10} = \tau_{\text{отр}} ; x_{11} = \delta_3 ; x_{12} = d ; x_{13} = \Delta x$ . Здесь фактор  $x_1 = \rho_p$  - средневзвешенная контактная прочность породы, является характеристикой забоя и относится к случайным величинам. Все другие факторы детерминированные, причем  $x_2 = N$  - мощность привода режущего диска;  $x_8 = \rho_c$  - глубина прорезаемой диском щели за цеки;  $\Delta x$  - шаг дискретизации, остальные факторы являются конструктивными характеристиками режущего инструмента.

Взаимодействие первых двух агрегатов состоит в следующем. При  $t = 0$  в агрегат  $A_2$  поступают в виде входных сигналов все перечисленные выше факторы. Выполняется розыгрыш средневзвешенной контактной прочности породы в забое на первом шаге  $x = 0$ . Определяется фактическая скорость подачи  $V_{np}$ , исходя из заданной мощности привода и  $N$  и значения  $\rho_p$  /4/. С учетом  $V_{np}$  и  $\rho_p$  находится допустимое значение усилия подачи  $F_{np}$  и по фактическим значениям  $V_{np}$  и  $F_{np}$  вводится корректировка значений  $\Delta Q_p$  и  $\rho_p$  на величины соответственно  $\Delta Q_p$  и  $\Delta \rho_p$ , которые передаются агрегату  $A_1$ . На выходе из  $A_1$  будем иметь значения  $F_p$  и  $V_p$ , приведенные в соответствие с  $F_{np}$  и  $V_{np}$ . При поступлении в управляющего сигнала из  $A_2$  в момент времени  $t_1 > 0$ , в  $A_2$  поступают входные сигналы и он приступает к работе.

До момента времени  $t_1 = t_1 + \Delta t$ , где  $\Delta t = \frac{\Delta x}{V_p}$ , состояние системы не изменяется, а в момент  $t_1$  на вход  $A_2$  поступает новое значение  $\rho_c$ , что вызывает изменение  $V_p$  и  $Q_p$ . При

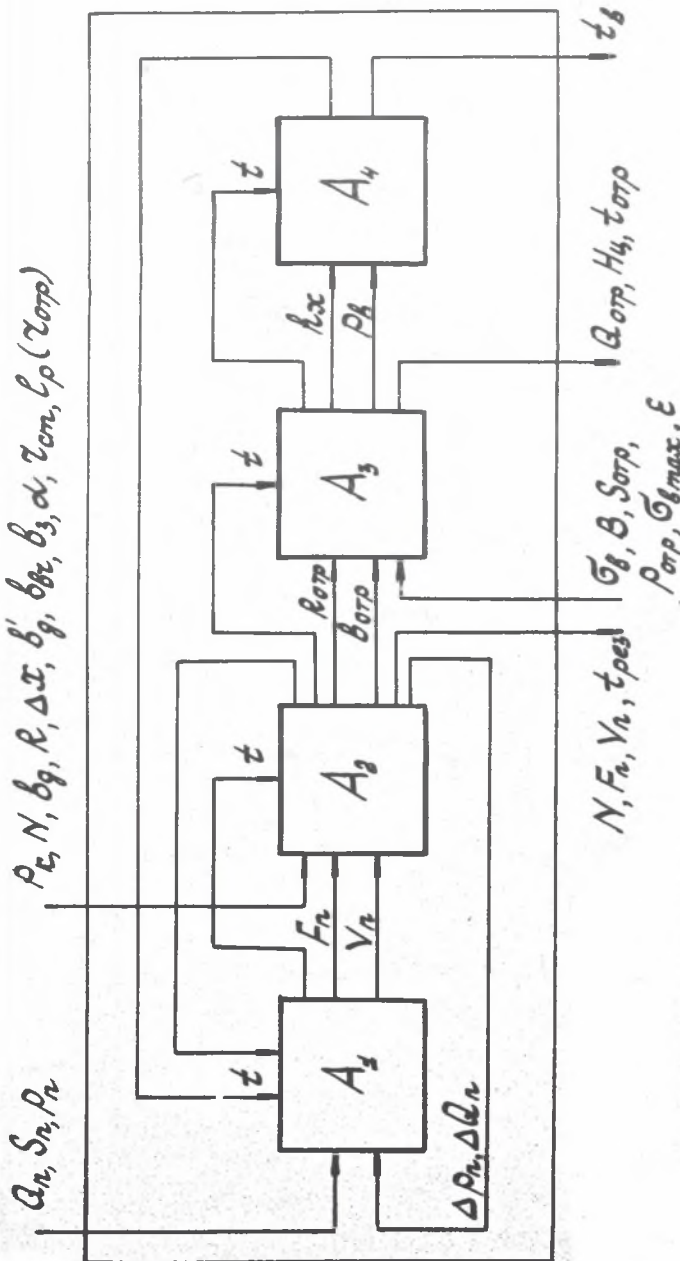


Рис.2. Структурная схема агрегатированной системы "забот" - исполнительный орган"  
 $A_1$  - механизм полачи;  $A_2$  - режущий орган;  $A_3$  - гидравлический отрывник;  
 $A_4$  - механизм возврата отрывника

этом, очередное значение  $\Delta Q_L$  в виде входного сигнала поступает в  $A_1$ , а из  $A_1$  в виде выходного сигнала на вход  $A_2$  поступает очередное значение  $V_L$ , которое не изменяется до момента времени  $t_3$  и т.д. Такая работа  $A_1$  и  $A_2$  продолжается до момента времени  $T = \sum \Delta t_i$ , где  $\pi = \frac{t_2}{\Delta t}$  и  $\Delta t_i = \frac{\Delta x}{V_{ri}}$ . В момент времени  $t = T$ , равный продолжительности цикла резания, расход жидкости  $Q_L$  и скорость подачи  $V_L$  становятся равными нулю. Из  $A_2$  поступает управляющий сигнал в  $A_3$ , известающий о начале процесса отрыва подрезанного целика.

Одновременно в агрегат  $A_3$  поступает вектор входных внешних и внутренних сигналов  $X : x_1 = \bar{b}_f ; x_2 = S_{opt} ; x_3 = P_{opt} ; x_4 = E ; x_5 = \bar{b}_{max} ; x_6 = R_{opt} ; x_7 = \bar{b}_{opt}$ . Здесь  $\bar{b}_f$  - средневзвешенное сопротивление породы изгибу, являющееся величиной случайной. Значения  $S_{opt}$ ,  $P_{opt}$  и  $E$  - характеристики гидропневматического привода отрывника;  $R_{opt}$  и  $\bar{b}_{opt}$  - конструктивные параметры тарельчатого рабочего элемента отрывника.

Преобразование входных сигналов в выходные в агрегате  $A_3$  сопровождается изменением его состояния и приводит к определению допустимой толщины отрываемого целика  $H_4$  при максимальном значении сопротивляемости породы изгибу  $\bar{b}_{max}$  и к формированию выходных сигналов  $y_1 = h_x$  - длины хода рабочего элемента отрывника и  $y_2 = P_f$  - давление в цилиндре возврата рабочего элемента.

Эти выходные сигналы поступают на вход агрегата  $A_4$  одновременно с управляющим сигналом, в результате чего происходит срабатывание  $A_4$  и цикл отрыва надщелевого целика завершается возвратом рабочего элемента отрывника в исходное положение. В этот момент  $A_4$  подает на вход  $A_1$  управляющий сигнал на начало следующего цикла резания. Функционирование системы продолжается до окончания времени моделирования  $T_{mod}$ .

В процессе моделирования по окончании каждого цикла срабатывают агрегаты  $A_2$ ,  $A_3$  и  $A_4$  для анализа поведения системы фиксируются выдаваемые ими выходные сигналы, служащие для формирования целевой функции при оптимизации и синтезе параметров системы. Наибольший интерес в этом плане представляют силовые и энергетические параметры: мощность резания  $N$ , усилие подачи  $F_r$  и отрыва целика  $\bar{b}_{opt}$ , а также режимные параметры: скорость подачи режущего органа  $V_r$ , время резания  $t_{rez}$ , толщина отрываемого целика  $H_4$ , время отрыва  $t_{opt}$  и время возврата рабочего элемента отрывника  $t_f$ . За исключением  $F_r$  все остальные выходные параметры суть величины случайные, так как они в различной степени зависят от случайных характеристик забоя  $P_c$  и  $\bar{b}_f$ , т.е. от их законов распределения. Для определения законов распределения средневзвешенных значений

$\rho_x$  и  $\sigma_y$  была разработана имитационная модель неоднородного за боя со случайным расположением твердых включений различной крепости и различных размеров. Эта модель состоит из двух алгоритмов, один из них реализует статистическую обработку на основе зарисовок реальных забоев, полученных экспериментальным путем в производственных условиях. Другой - имитирует изменчивость параметров забоя в зоне работы исполнительного органа в соответствии с математической моделью.

Результаты исследований по представленным методам использованы при создании экспериментальных образцов выемочных и проходческих машин с ударными и комбинированными исполнительными органами.

#### ЛИТЕРАТУРА

- [1] Лазуткин А.Г., Нордин В.В.: Многофакторные математические модели ударного разрушения горных пород. - В сб. докладов У-го международного симпозиума ТАТАРАМАН-88 (ЧССР). - Комицце, 1988, ч. 1, сс. 117-120.
- [2] Ушаков Л.С., Нордин В.В.: Методические особенности модельных исследований ударного разрушения горных пород и обработки их результатов. - Караганда, 1979. - 15 с. - Рукопись деп. в ЦНИИ Иуголь 5 апр. 1979, № 1445.
- [3] Бусленко Н.П.: Моделирование сложных систем. - М.: Наука 1978, с.400.
- [4] Алмазный инструмент для разрушения крепких горных пород А.Ф. Кичигин, С.Н. Игнатов, Ю.И. Климов и др. - М.: Недра 1980, с. 160

#### MODELOWANIE PROCESÓW URABIANIA SKAŁ ORGANAMI UDAROWYMI I DIAMENTOWYMI

##### S t r e s z c z e n i e

Jednym ze sposobów zastępowania urabiania materiałami wybuchowymi skał zwięzłych i średniej zwięźłości, charakteryzującego się szeregiem znanych wad, okazuje się urabianie udarowymi i diamentowymi organami o wysokiej energii. W Politechnice Karagandzkiej od szeregu lat prowadzone są prace nad stworzeniem organów urabiających tego typu dla maszyn górniczych o różnym przeznaczeniu. Opracowano i wykonano szereg doświadczalnych modeli organów urabiających, które przebadano w różnych warunkach laboratoryjnych i przemysłowych.

Parametry urabiania i warunki pracy organów urabiających były badane w celu optymalizacji procesu urabiania. Stosowane metody modelowania matematycznego i fizycznego oraz oscylograficzne i tensometryczne badania przebiegu występujących zjawisk. Opracowane wieloczynnikowe nieliniowe

modele matematyczne procesów urabiania doprowadziły po przeanalizowaniu do określenia racjonalnych wielkości parametrów geometrycznych, kinematycznych i dynamicznych oraz ich wzajemnych związków. Badania prowadzono z wykorzystaniem EMC. Rezultaty badań w postaci zaleceń przekazano szeregu zakładom przemysłowym.

#### MODELLING THE PROCESSES OF ROCK BREAKING WITH IMPACT AND DIAMOND WORKING ORGANS

##### S u m m a r y

One of the means of substituting boreblasting breaking of hard rocks and rocks of medium hardness characterized by a number of known defects is breaking with the impact and diamond working organs which have powerful source of energy. For some years the Karaganda Polytechnical Institute has been working at creating such working organs for mining machines of various appointment. A number of experimental samples of working organs has been worked out and tested in various laboratories and at the industrial enterprises.

The parameters of breaking and working conditions of working organs has been investigated for optimization of breaking processes with the methods of mathematical and physical modelling, oscelographing and tensometering the phenomena which take place. Discrete multifactor mathematical models of breaking processes have been defined and analysing them it was possible to find the rational meanings of geometrical, kinematical, dynamic parametres and their mutual correlation. The investigations were carried out with the help of computers. The results of the investigations in the form of recommendations have been given to a number of industrial enterprises.